

FeF<sub>3</sub>

V 2825

1893

Petersen

2. J. prakt. Chem. 48, 88 (1893)

AuCl, AuBr, FeF<sub>3</sub>, aq, (ΔHf)

Circ. 500

W.

F

FeF<sub>3</sub> / Poulenc

1894

Ann. chim. phys.,  
1894, 2, 5'

Г

[Согласно Пуленцу твердый FeF<sub>3</sub>  
сублимирует без плавления при  
температурах порядка 1300 K]

$\text{FeF}_3$

[Om. 25241]

1928

Zellinek R., Rudat A.,

Z. anorg. und allgem.  
Chem., 1928, 175, 281-320.

$\Delta_f H$

$\text{FeF}_2$ ,  $\text{CoF}_2$ ,  $\text{NiF}_3$  -  $\text{FeF}_3$ ,  $\text{CoF}_3$ ,  
( Hf )

VI-508

1929

Ruff O., Ascher E.

Z.anorg. allgem. Chem. 1929, 183, 193-213.

"Fluorides of the eighth group of  
the periodic system".

EOTB  $\phi_1$  M.

M

CA., 1930, 306.

7608

V 754 1937

$\text{CuF}_2$ ,  $\text{MgF}_2$ ,  $\text{CaF}_2$ ,  $\text{BaF}_2$ ,  $\text{ZnF}_2$ ,  $\text{CdF}_2$ ,

$\text{PbF}_2$ ,  $\text{CrF}_3$ ,  $\text{FeF}_3$ ,  $\text{CoF}_2$ ,  $\text{NiF}_2$

( Hf, Haq, K<sub>gidrolis</sub> )

Domange L.,

Ann. Chim. 1937, 7, 225-97

"Reaction in ..."

M, W

1947  
VI-1239

К ~~и~~ <sup>исследование</sup>  $\text{FeF}^{++}$ ,  $\text{FeF}_2^+$ ,  $\text{FeF}_3$ ,  
 $\text{FeF}_4^-$ ,  $\text{FeF}_5^{--}$ )

Бабко А.К., Клейнер К.Е.

Ж. общ. хим., 1947, I7, 1259-67.

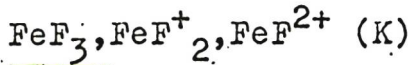
"Ferric fluoride complexes in solution".

Ja,

F

CA., 1948, 1840i

VI-1241 1953



Hudis J., Wahl A.C.

J.Am.Chem.Soc., 1953, 75, 4153-8.

The kinetics of the exchange reactions  
between iron (II)ion and the fluoride  
complexes of iron(III)

EST/F.G.T.b d. R.

Ja

CA., 1953, 12089e

VI 1936

1957

FeCl<sub>3</sub><sup>2+</sup>

FeCl<sub>3</sub>

FeCl<sub>3</sub><sup>+</sup>

FeF<sub>3</sub> (Mp, Δ F<sub>298</sub>)

IP (Mp, Δ S)

Connick, E.B., Hopkins, G.C., Nutting, D., Haney, T.,

Latimer, W.H., 1936, 1956, 1957, 1958, 1959

J. Amer. Chem. Soc., 1936, 58, 1827-1829

( )



ECTB (p. 4)

Aug

The complexing of iron (III) by fluoride  
ions in aqueous solution: free energies,  
heats and entropies.

H. S.

PL, 1957, 26470

Hepworth M.A., Jack K.H.

1952

Peacock R.D., Westland G.J.,

Acta crystallogr., 1952, 10, 63

$\boxed{\text{FeF}_3}$  -  $\kappa\bar{I}$ , rec.,  $\overline{3}m$ ,  $R\bar{3}c(\text{O}_{3d}^6)$ ,

↑ Cognacian min  $V\text{F}_3$

↓  $\text{FeCl}_3$   $\text{FeCl}_2$   
local [57 HEP/JAC]

$\text{FeF}_3$

1957

[ $\bar{\text{5}}\bar{7}\text{HEP}/\text{AC}$ ] Hepworth M.A., Jack K.H.,  
Peacock R.D., Westland G.J.

Acta crystallogr., 1957, 10, 63

[ССБИКИА № ТКБ, 6801н., № 3910]

( $\text{FeF}_3$ ,  $K\bar{I}$ ,  $200^\circ\text{C}$ ,  $\bar{3}m$ , C.T.  $\text{run Vf}_3$   
 $K\bar{I}$ ,  $K\bar{S}$ , (C.T. ~~run~~  $\text{ReO}_3$ )

FeF<sub>3</sub> | Wollan<sup>E.O.</sup>, Child H.R., Koehler?, Wilkinson?

1958

Phys. Rev., 1958, 112, N<sub>4</sub>,  
p. 1132-1136

T<sub>w</sub> = 394 K (антигравитационный генератор,  
бюджетный  методика  
нейтронных изотопов)

$\text{FeF}_3$

Besenb reech G. a gp. 1965

БТТ, № 8, сеп. 42

p

Б9-11-2382

1965

12 E622. Аномалия теплоемкости фторида железа  
 $\text{FeF}_3$ . Bizette Henri, Mainard Robert, Picard  
Jean. Sur l'anomalie de la chaleur spécifique du fluorure  
ferrique  $\text{FeF}_3$ . «С. г. Acad. sci.», 1965, 260, № 21, 5508  
(франц.)

Исследование методом нейтронной дифракции, выполненное Волланом, Чайлдом, Кёлером и Уилкинсоном (РЖФиз, 1959, № 8, 18062), выявило у  $\text{FeF}_3$  антиферромагн. переход в области 394° К. Авторы исследовали поведение теплоемкости в области этого перехода. Кривая температурной зависимости теплоемкости проходит через явно выраженный максимум при т-ре 367° К.

Л. Соболев

$\text{Fe F}_3$

$C_p$ ,  
 $T =$   
 $= 367 \text{ K}$

ф. 1965. 128

FeF<sub>3</sub>

ЗР-VI-2382

1965

У7 Б588. Аномалия теплоемкости фторида железа FeF<sub>3</sub>. Bizette Непті, Mainard Robert, Picard Jean. Sur l'anomalie de la chaleur spécifique du fluorigue ferrique FeF<sub>3</sub>. «С. т. Acad. sci.», 1965, 260, № 21, 5508 (франц.)

Исследование методом нейтронной дифракции, выполненное Волланом, Чайлдсом, Коэлером и Вилкинсоном (РЖХим, 1959, № 24, 85104) выявило у FeF<sub>3</sub> антиферромагнитный переход в области 394° К. В настоящей работе авторы исследовали поведение теплоемкости в области этого перехода. Кривая т-рной зависимости теплоемкости проходит через явно выраженный максимум при т-ре 367° К.

Л. Соболев

РЖХ, 1966,

A-538

1965

Fe, Co, Ti, V, Cr, Mn, FeF,  $\text{FeF}_2$ ,  $\text{FeF}_3$ ,  $\text{CoF}_3$ ,  
 $\text{VF}_2$ ,  $\text{VF}$ ,  $\text{MnF}_2$ ,  $\text{MnF}_3$  ( $\Delta H_f$ )

Cavell R. G., Clark H. C.

J. Chem. Soc., 1965, (Jan.), 444-448.

М, Б

Есть оригинал.

CA, 1965, 62, N12, 13937h

$\text{FeF}_3$

Wanklyn B.M.

1965

J. Inorg. and Nucl. Chem.,  
27, N2, 481

curry

(cu.  $\text{KV}_3\text{F}_6$ ) I

$\text{Fe}_2\text{F}_5$

$\text{FeF}_3$

$\Delta H_s$

Zmbov K.F., Bip-4632-VI 1967  
Margrave y.l. 446

J. inorg. nucl. chem., 13  
29, 673-680

Масс-спектрометрическое  
исследование при высоких  
T-рах. XV. Давление суд-  
имые превращения  
Cr, Mn u Fe. Мемория  
Coll. Cr  $\text{F}_3$  I

greenish grey Fe<sub>2</sub>F<sub>6</sub> (rare).

(Cut: ~~Fe<sub>2</sub>F<sub>6</sub>~~) I

CrF<sub>3</sub>

1968

FeF<sub>3</sub>

4 Б596. Кристаллографический фазовый переход фторида железа. Croft W. J., Kestigian M. Crystallographic phase transformation of ferric fluoride. «J. Electrochem. Soc.», 1968, 115, № 6, 674 (англ.)

Методом р-ций в газовой фазе синтезированы кристаллы FeF<sub>3</sub>, морфологич. и оптич. исследованием к-рых показана принадлежность их при низких т-рах к ромбоэдрич. симметрии. При нагревании до 410° на столике поляризационного микроскопа кристаллы становятся изотропными; рентгенографич. исследование новой фазы показало ее принадлежность к кубич. симметрии. Предположено, что фазовый переход кубич. форма → ромбоэдрич. форма препятствует образованию больших кристаллов при выращивании их обычными методами.

С. В. Рыкова

T<sub>c2</sub> == 410° (?)t 973° (?)683, к.X. 1969. 4

Fe | Fe<sup>2+</sup>, FeF<sub>2</sub><sup>+</sup>, FeF<sub>3</sub>, FeF<sub>4</sub><sup>-</sup> VI 5244 1968

FeF<sub>5</sub><sup>2-</sup>, FeF<sub>6</sub><sup>3-</sup> (kp)

Swinorski A., Gogolin R.

Roczn. chem., 1968, 42, N3, 543-548 (Kielce)

Uchenye zapiski kievskogo gosudarstvennogo universiteta - 6

статья FeCl<sub>3</sub>-NH<sub>3</sub>F - C<sub>2</sub>H<sub>5</sub>OH

W

Nauk. liter., 1969

25/08

○

B, Sy (9)

$\text{FeF}_3$

B97-5081-X

1970

Tressaud A; et al.

(Ttr) J. Solid State Chem.,  
1970, 2 nr, 269 - 77.



(crys. K-Fe; I)

FeF<sub>3</sub>

T  
Neel  
= 363.2 K

132208m Observation of induced antiferromagnetism above the Neel point in the compound iron trifluoride. Gamlitskii, V. Ya.; Yakimov, S. S.; Nikolaev, V. I.; Simonov, N. F. (USSR). Pis'ma Zh. Eksp. Teor. Fiz. 1971, 13(3), 129-30 (Russ). An investigation of the Moessbauer effect of <sup>57</sup>Fe nuclei in antiferromagnetic FeF<sub>3</sub> in an external magnetic field  $\leq 20$  kOe, revealed antiferromagnetic ordering at temps. above the magnetic transformation point. A polycryst. FeF<sub>3</sub> sample prep'd. from 99.95% pure Fe by fluorination with elemental F in a Ni app. at 350-400°C and enriched with the isotope <sup>57</sup>Fe (83%) was used. The Neel temp.,  $T_N$ , was detd. by thermal scanning to be 363.2°K, which agrees with previously published data. The Moessbauer effect was investigated at 293-400°K. The magnetic field was perpendicular to the direction of the stream of  $\gamma$ -quanta. The Moessbauer spectra were processed by computers. At  $T = T_N$  the external magnetic field of 20 kOe induces on <sup>57</sup>Fe nuclei an effective magnetic field of 100 kOe. The direction perpendicular to the magnetic field is the one preferred for the moments of the sublattices. In the antiferromagnetic compd. FeSn<sub>2</sub>, in which the "Dzyaloshinskii interaction" is not present (I. E. Dzyaloshinskii, 1967, 1969) this effect of inducing an effective magnetic field on the <sup>57</sup>Fe nuclei is not obsd.

S. A. Mersol

C. H. 1971. 44 24

Facultatea de B. si S. studii C. C.  
Institutul Teoretic si Matematic

$\text{FeF}_3$   
(Crystal)  
100-2000°K  
(1965)

JAN HT  
Aug 9

1964

$\text{FeF}_3 \cdot 3\text{H}_2\text{O}$

Macheteau

1972

3 Б784. О термическом разложении  $\text{FeF}_3 \cdot 3\text{H}_2\text{O}$ .  
Macheteau Yves, Chatrpin Pierrette. Sur la  
décomposition thermique de  $\text{FeF}_3 \cdot 3\text{H}_2\text{O}$ . «C. r. Acad. sci.»,  
1972, C275, № 8, 443—445 (франц.)

По данным ТГА и ДТА при нагревании  $\beta\text{-FeF}_3 \cdot 3\text{H}_2\text{O}$  до  $165^\circ$  в среде  $\text{N}_2$  образуется  $\text{FeF}_3 \cdot \text{H}_2\text{O}$  (I). I образуется также при нагревании  $\alpha\text{-FeF}_3 \cdot 3\text{H}_2\text{O}$  в среде  $\text{N}_2$ . Рентгенографич. исследованиями показано, что I относится к гексагон. сингонии с параметрами решетки  $a = 7,395$ ,  $c = 7,557\text{\AA}$ ,  $Z=5$ ,  $\rho$  (выч.) 3,02  $\rho$  (изм.) 2,96. При нагревании I  $> 200^\circ$  в  $\text{N}_2$  или на воздухе в зависимости от т-ры, он либо частично, либо полностью гидролизуется с образованием смеси  $\text{FeF}_3 + \alpha\text{-Fe}_2\text{O}_3$  или  $\alpha\text{-Fe}_2\text{O}_3$ . Приведены значения  $I$ ,  $d$  и  $hkl$  рентгенограммы порошка I.

М. Б. Варфоломеев

$T_{t_2}$   
нафам.  
решетка

X. 1973. N3

$\text{FeF}_3$  (it)

1973

Barin Y., et al

298-1200

mass I, cup. 249



(see Ag F)<sub>I</sub>

FeF<sub>3</sub>

Tressaud A. + 2 coalizes

1973

Z. anorg. allg. Chem., 1973, 399, 231

T<sub>tr</sub>

(3 can be copper!)

1974

FeF<sub>3</sub>, rec.Fedorenco-B.A.T<sub>Neel</sub>

112829f Magnetic anomaly of the thermal expansion of anti-ferromagnetic iron(III) fluoride. Gordienko, V. A.; Zubenko, V. V.; Nikolaev, V. I. (Mosk. Gos. Univ. im. Lomonosova, Moscow, USSR). *Fiz. Tverd. Tela (Leningrad)* 1974, 16(8), 2459-62 (Russ). An attempt was made to obs. directly the spontaneous magnetostriiction of FeF<sub>3</sub>. The appearance of magnetic ordering below the Neel point  $T_N$  is accompanied by the appearance of spontaneous magnetostriiction which is anisotropic. These data show a strong dependence of exchange interactions on the distance between basal planes.

A. Libackyj

C.M. Trepka

C.A. 1974. 81. N18

Магнитная аномалия Тендербас  
распространяется антидипротонически  $\text{FeF}_3$



$\text{FeF}_2$

$\text{FeF}_3$

$(C_p)$

Macheteau, Barberi

1974

$\Delta f H$

Ottawa 20779

(30174x) Calorimetric study of the reaction iron(III) fluoride + iron and measurement of the specific heats of ferrous and ferric fluorides in the temperature range 200 to 400°. Macheteau, Y.; Barberi, P. (Dep. Genie Isot., C.E.N. Saclay, Gif-sur-Yvette, Fr.). *Bull. Soc. Chim. Fr.* 1974, (1-2, Pt. 1), 34-6 (Fr). The reaction  $2\text{FeF}_3 + \text{Fe} \rightarrow 3\text{FeF}_2$  was studied in the temp. range 25-650°. It was an endothermic reaction commencing at  $\sim 200^\circ$ . The std. reaction enthalpy was  $19 \pm 1$  kcal/mole  $\text{FeF}_3$ . The molar heat capacities of  $\text{FeF}_2$  and  $\text{FeF}_3$  were measured at 200, 300 and 400° and dissoen. pressures calculated for 25-1000°. M. Elmslie

C.A. 1974. 81. N4

FeF<sub>3</sub>

В-Ф. -XVI -  
-2652

(Tz)

СИ. ЦЕ  
обратите

X/1976 № 3

3 Б661. Перекристаллизация гидротермальным методом различных фторидов железа, в частности FeF<sub>3</sub>. Passagat M., Leblanc M., de Pape R. Recristallisation par voie hydrothermale de différents fluorures ferriques, notamment FeF<sub>3</sub>. «High Temp.-High Pressures», 1974, 6, № 6, 629—633 (франц.; рез. англ.)

Монокристаллы FeF<sub>3</sub> (I) получены гидротермальным методом в платиновых герметизированных ампулах; наружное давление создавалось накачкой Ag. Кристаллизация велась при т-ре <410° (т-ра перехода ромб-эдрич. FeF<sub>3</sub> в кубич. FeF<sub>3</sub>) и давл. ≈1000—2000 бар с применением различных растворителей. В водн. среде получен FeF<sub>3</sub>·H<sub>2</sub>O (ф. гр. P6<sub>3</sub>22). В водн. р-рах NH<sub>4</sub>F и NH<sub>4</sub>HF<sub>2</sub> выпадает NH<sub>4</sub>FeF<sub>4</sub> (II). Параметры ромбич. решетки II: *a* 7,58, *b* 7,58, *c* 6,36 Å. При слабой конц-ии NH<sub>4</sub>HF<sub>2</sub> образуется смесь II и β-FeF<sub>3</sub>·3H<sub>2</sub>O (III). В 10% HF получен только III. В 49,5% HF при т-ре 380—420° и давл. 1200—2000 бар получены кристаллы I размером около 1 мм<sup>3</sup>. Повышение давл. приводит к уменьшению гидролиза и степени гидратации. По мнению авторов, гидротермальный синтез из-за отсутствия затравок не позволяет получить пленки с магнитно-оптич. свойствами.

Д. Ю. Пущаровский

-1974

2652

2652

XVI

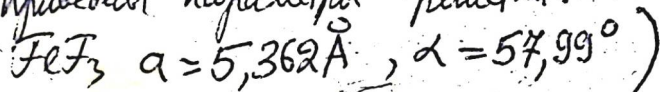
ФБ

В этом случае  $T_{tr}$  не определено,  
указанный лишь мт. Танке.

$$T_{tr} = 410^{\circ}\text{C} (683\text{K})$$

Работа не нужна!

(приведены параметры решетки:



Fuchs  
1952

XVI-2652

1974

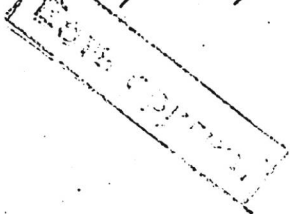
FeF<sub>3</sub>(Tt<sub>2</sub>)

Passaret M., Leblanc M.; de Paper R.

High Temp. - High Pressures, 1974, 6, N<sup>b</sup>,

629-633

DySN



5

$\text{Fe F}_3$

Бурмак Б.Н.

1975

термохим.  
данные  
(расчет)

"Изв. высш. учебн.  
заведений. Серия. мефат-  
иургия" 1975, № 10, 5-8

(ав  $\text{Co}_2 \text{O}_3$ ; I)

$\text{FeF}_3$

Mudorab U.H.

1975

( $T_{\text{Neel}}$ )

Effect of magnetooptical effect on the Neel temperature in iron(II) fluoride. Nekrasov, I. N.; Pavlyukov, L. S.; Kostylev, V. A. (Inst. of Phys.-Chem. Inst., Moscow, USSR). *Fiz. Tverd. Tela* (Leningrad) 1975, 17(11), 3399-91 (Russ.). With the aid of the magnetooptical effect a determination was made of the Neel temp.  $T_N$  and the low than 5% pressure of  $\pm 7$  kbars in nonmetallic antiferromagnetic  $\text{FeF}_3$ . The temp. dependence is shown of the velocities of proton count corresponding to pressures of 7, 5, and 4 kbars and 1 atm. The break points on the lines correspond to  $T_N$ .  $T_N$  decreases linearly with increased pressure with  $\partial T_N / \partial p = -(1.7 \pm 0.1)$  deg/kbar.  
A. Libacký

Alt. на  
одарене!

C.A. 1976. 84 n 6

Снижение  $T_w$  в  $\text{FeF}_3$  под действием сжатия

P

$T_w$

0 кбар 364 °K

2 кбар 357

4 кбар 352 K

С.С. Димитров - образцы  $\text{FeF}_3$

намагничен. образцы с изотопом  $\text{Fe}^{57}$

FeF<sub>2</sub>

FeF<sub>3</sub>

(P)

Den. N122

1976

10 Б905 Деп. Давление пара ди- и трифтогрида железа. Журавлева Л. В., Алиханян А. С., Сидоров Л. Н. (Редколлегия «Ж. физ. химии» АН СССР). М., 1976. 35 с., ил., библиогр. 7 назв. (Рукопись деп. в ВИНИТИ 12 февр. 1976 г., № 459—76 Деп.).

Эффузионным методом Кнудсена с масс-спектральным анализом продуктов испарения определены теплоты сублимации и давл. пара ди- и трифтогрида железа:  
 $\lg P_{\text{FeF}_2}$  (атм) =  $-(13,724 \pm 0,153) \cdot 10^3/T + (8,604 \pm 0,151)$  ( $T = 848 - 1142^\circ\text{K}$ ),  $\lg P_{\text{FeF}_3}$  (атм) =  $-(13,593 \pm 0,240) \cdot 10^3/T + (8,939 \pm 0,244)$  ( $T = 851 - 1127^\circ\text{K}$ ),  $\lg P_{\text{FeF}_2}$  (атм) =  $-(17,483 \pm 0,350) \cdot 10^3/T + 10,216$  ( $T = 991 - 1084^\circ\text{K}$ ). Определение теплот сублимации проводилось одновременно со станд. в-вами NaF и KF. Значения теплот сублимации ди- и трифтогрида железа при  $T = 298^\circ\text{K}$ , получен-

X1976N10

ные по 2-му закону, составляют  $64,9 \pm 0,7$  и  $65,8 \pm 1,1$  ккал/моль; по 3-му закону  $64,6 \pm 2,0$  и  $67,6 \pm 2,0$  ккал/моль, соотв. При  $T=1000^\circ\text{K}$  для теплоты сублимации  $\text{Fe}_2\text{F}_6$  получено  $80,0 \pm 1,6$ , для теплоты димеризации  $\text{FeF}_3$  —  $44,4 \pm 2,5$  ккал/моль. Прямой опыт по испарению смеси кристаллов  $\text{FeF}_2$  и  $\text{FeF}_3$  показал, что при  $1038^\circ\text{K}$  отношение давл.  $\text{FeF}_3$  и  $\text{FeF}_2$  равно 2,4. Это значение резко отличается от имеющихся лит. данных, согласно к-рым летучесть  $\text{FeF}_3$  при данной т-ре превышает летучесть  $\text{FeF}_2$  более чем на 3 порядка. Столь же сильные расхождения с лит. данными наблюдаются и в теплотах сублимации. Установлено, что в насыщ. паре трифтторида железа наряду с молекулами  $\text{FeF}_3$  и незначительным кол-вом молекул  $\text{Fe}_2\text{F}_6$  присутствуют молекулы  $\text{FeF}_2$  в кол-ве  $\sim 15\%$  ( $T=1002^\circ\text{K}$ ), что указывает на частичную диссоциацию трифтторида железа при высоких температурах.

Автореферат

$\text{FeF}_3$

Napija lo M. L.

1976

Srećković ~~A.~~, Mačković ~~V~~

"Fizika", 1976,

8, Suppl., 149 - 151

$T_{\text{tz}}$

Dygr.

X-47-245668

Fl F<sub>3</sub>

1974

Курабова А.В.

ЛСН

Автореф. рук...

науч. канд. наук;  
М.; МГУ, 1974

$\text{FeF}_3$

$\text{BaFeF}_5$

( $T_{tr}$ )

(+1)  $\otimes$

Samuel M., De Kozak A.

1978

90: 61933m Quaternary iron(III), barium and manganese(III) fluorides. Structural relations among phases derived from  $\beta$ -barium iron(III) fluoride. Samouel, Maurice; De Kozak, Ariel (Lab. Chim. Miner., Univ. Pierre-et-Marie-Curie, Paris, Fr.). *Rev. Chim. Miner.* 1978, 15(3), 268-77 (Fr). Three quaternary fluorides were found by x-ray diffraction in the system  $\text{BaF}_2\text{-MnF}_2\text{-FeF}_3$ . These include monoclinic  $\text{BaMnFeF}_7$ , and two tetragonal phases whose structures are related to that of  $\beta\text{-BaFeF}_5$  ( $\text{Ba}_2\text{MnFeF}_9$  and  $\text{Ba}_{3+x}\text{Fe}_{2-2x}\text{Mn}_{2x}\text{F}_{12}$  ( $0 \leq x \leq 0.33$ )). An isothermal section of the phase diagram of the ternary system at  $600^\circ$  is shown. Investigation of the liq.-solid equil. in the system  $\text{FeF}_3\text{-BaF}_2$  by DTA showed polymorphism of  $\text{FeF}_3$  and  $\text{BaFeF}_5$ ;  $\alpha\text{-FeF}_3$  (rhombohedral)  $\rightleftharpoons$  ( $394^\circ$ )  $\text{FeF}_3$  (cubic). There was also  $\alpha\text{-BaFeF}_5$  (orthorhombic)  $\rightarrow$  ( $640^\circ$ )  $\beta\text{-BaFeF}_5$  (tetragonal)  $\rightleftharpoons$  ( $730^\circ$ )  $\gamma\text{-BaFeF}_5$  (cubic).

R. J. Roy

$$T_{tr} = 394^\circ\text{C} = 667\text{K}$$

[78 SAM/DEK]

C.A.194990N8

OM: 18704 1979

FeF<sub>3</sub>

2 Б717. Аморфный FeF<sub>3</sub>: некристаллический магнетик с антиферромагнитными взаимодействиями. Fegey G., Vagget F., Coey J. M. D. Amorphous FeF<sub>3</sub>: a non-crystalline magnet with antiferromagnetic interactions. «J. Phys.», 1979, C12, № 13, 2531-2537 (англ.)

(Тек)

(см. виа обложка)

СМЯ

2.1980.№

Испарением  $\text{FeF}_3$  на подложку, имеющую коми. т-ру, получены тонкие Пл. ( $\sim 2$  мкм)  $\text{FeF}_3$ , аморфность к-рых установлена рентгенографически и с помощью мессбауэровской спектроскопии. При т-рах  $4,2-300^\circ\text{K}$  в магнитных полях напряжённостью до 150 кэрстед измерена магнитная восприимчивость  $\chi$  и намагничесть  $M$  этих Пл. На основе анализа полученных данных найдено, что величина параметра антиферромагнитного обменного взаимодействия  $z|J_{\text{ex}}|$  составляет довольно большую величину ( $\sim 25^\circ\text{K}$ ), при к-рой, согласно модели молек. поля, т-ра антиферромагнитного фазового перехода  $T_N$  должна составлять  $\sim 150^\circ\text{K}$ . Однако экспериментально определенная т-ра, при к-рой начинается «замораживание» спинов, составляет только  $\sim 29^\circ\text{K}$ , причем «замораживание» спинов имеет вид размытого фазового перехода. Полное «замораживание» спинов ( $\omega < 10^8 \text{ сек}^{-1}$ ) происходит при  $T \leq 15^\circ\text{K}$ , и магнитное упорядочение относится к типу спинового стекла (сперомагнетизм). Полученные результаты интерпретированы в рамках модели, учитывающей флуктуации параметра  $|J_{\text{ex}}|$  в аморф. антиферромагнетике  $\text{FeF}_3$ . В. М. Новоторцев

FeF<sub>3</sub>

Ferry G. OM: 18704

1979

92: 14536r Amorphous iron trifluoride: a noncrystalline magnet with antiferromagnetic interactions. Ferry, G.; Varret, F.; Coey, J. M. D. (Lab. Fluorures Oxyfluorures Ion., Univ. Maine, 72017 Le Mans, Fr.). *J. Phys. C* 1979, 12(17), L531-L537 (Eng). Susceptibility and magnetization measurements on amorphous FeF<sub>3</sub> indicated strong antiferromagnetic exchange coupling corresponding to a Neel temp. of ~300 K in a cryst. lattice. Magnetic remanence and irreversible susceptibility indicated that spin freezing occurs only below 29 K, there being no sharp phase transition. Moessbauer expts. showed that the magnetic order is speromagnetic. A value of 3.54 for the molar Curie const. at 50-300 K is interpreted by assuming a distribution in the magnitude of antiferromagnetic interactions. The results are discussed in terms of magnetic frustration.

(TR)

-furnace 29K

C. A. 1980, GL 12

Омск 14245/9/9

FeF<sub>3</sub>

З Б785. Стандартная энталпия образования трифторида железа. Первов В. С., Муравина А. Г., Рябов С. А. «8-я Всес. конф. по калориметрии и хим. термодинам., Иваново, 1979. Тез. докл. I—НОР», Иваново, 1979, 57

Методом фторной калориметрии определена энталпия образования FeF<sub>3</sub> (ромбоэдрич.), составившая —236,8±0,5 ккал/моль.

А. С. Гузей

(4Hf)

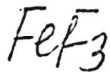
14245

2.1980.13

*kuwta*  
F<sub>e</sub>F<sub>3</sub>- Comptes y Megalebe | 1980  
F<sub>e</sub>F<sub>4</sub>- Sorokin Y. D; et al.  
(sHf) 6th Int. Conf. Thermod.  
Abstracts of Poster Papers  
Merseburg, GDR, 1980  
P. 164.

0mmrue 11628

1981



95: 68922u The enthalpy of formation of ferric fluoride by fluorine bomb calorimetry. Johnson, Gerald K. (Chem. Eng. Div., Argonne Natl. Lab., Argonne, IL 60439 USA). *J. Chem. Thermodyn.* 1981, 13(5), 465-9 (Eng). The heat of combustion of Fe in F was measured in a bomb calorimeter. The std. heat of formation of  $\text{FeF}_3$  was detd. to be -989.6 kJ/mol.

DJM

CA 1981, 95, n18

FeF<sub>3</sub>    сибирь 11626

1981

19 Б947. Определение энталпии образования FeF<sub>3</sub> методом калориметрии во фторной бомбе. Johnson Gerald K. The enthalpy of formation of FeF<sub>3</sub> by fluorine bomb calorimetry. «J. Chem. Thermodyn.», 1981, 13, № 5, 465—469 (англ.)

(4Hf)

Из измерений энергии сгорания Fe во F<sub>2</sub> в калориметрич. бомбе для станд. энталпии образования крист. FeF<sub>3</sub> получено —989,6±2,2 кДж/моль. Результат заметно отличается от прежних определений и справочных данных.

А. Б. Кисилевский

Х. 1981, N 19

*FeF<sub>3</sub>*

*0777-22-501*

*1981*

*4Hf*

94: 181675h Fluorine calorimetry. Determination of the enthalpy of formation of iron trifluoride. Pervov, V. S.; Muravina, A. G.; Ryabov, S. A. (Inst. Obshch. Neorg. Khim., Moscow, USSR). *Dokl. Akad. Nauk SSSR* 1981, 257(2), 405-8[Phys. Chem.] (Russ). The heat of combustion of Fe in F was detd. to be  $-4233.4 \pm 9.4$  cal/gm. The heat of formation of  $\text{FeF}_3$  [7783-50-8] (cryst., rhombohedral) was  $-237.5 \pm 0.6$  kcal/mol. The prepn. of the samples and the details of the calorimeter used are described.

*C.A. 1981, 94, N22*

отт. 22 561

1981

FeF<sub>3</sub>

14 Б797. Фторная калориметрия. Определение энталпии образования трифторида железа. Первов В. С., Муравина А. Г., Рябов С. А. «Докл. АН СССР», 1981, 257, № 2, 405—408

Методом фторной калориметрии получено надежное значение энталпии образования трифторида железа. При сожжении во фторе в калориметрич. бомбе новой конструкции металлич. железа совместно со вспомогательным в-вом — вольфрамом — получено:  $\Delta H^\circ$  (f 298,15, FeF<sub>3</sub>, крист.) =  $-237,5 \pm 0,6$  ккал/моль (или  $-993,7 \pm 2,5$  кДж/моль).

Автореферат

(ΔH<sup>°</sup>)

2. 1981. N14

$\text{FeF}_3$

1981

Schaefler S.C., et al.

$\Delta H_f$ ;

High Temp. Sci., 1981,  
14, N3, 153-159.

( $\text{crys. FeF}_2$ ; ?)

FeF<sub>2</sub>(k)      Omnuck 13797      1981

FeF<sub>3</sub>(k)      Schaefer S.C., Fokcen NA

K<sub>P</sub>, AsF<sub>3</sub>,  
AsH<sub>3</sub>      High Temp. Sci., 1981,  
14, N3, 153 - 159.

$\text{FeF}_3^-$

Lommel et al 1981

$\text{FeF}_4^-$

Sidorov L. N., et al.

Ion Int. & Mass Spectrom.

( $\Delta H_f^\circ$ ;  $A_e$ ) and Ion Phys., 1981, 39,  
311-325

$\text{FeF}_3^-$

1981

96: 150078c Mass-spectrometric determination of the enthalpies of dissociation of gaseous complex fluorides into

neutral and charged particles. V. Heats of formation of trifluoroferate ( $\text{FeF}_3^-$ ) and tetrafluoroferrate ( $\text{FeF}_4^-$ ). Sorokin, I. D.; Sidorov, L. N.; Nikitin, M. I.; Skokan, E. V. (Chem. Dep., Moscow State Univ., 117234 Moscow, USSR). *Int. J. Mass Spectrom. Ion Phys.* 1981, 41(1-2), 45-54 (Eng.). Ion/mol. equil. in which neg.  $\text{FeF}_3^-$  and  $\text{FeF}_4^-$  ions were formed within a Knudsen cell was studied by mass spectrometry. The following thermodn. quantities were calcd. from the exptl. data:  $\text{FeF}_2 + \text{Fe}^- \rightleftharpoons \text{FeF}_3^- \Delta H_{298}^0 = -105.4$  and  $\text{FeF}_3 + \text{F}^- \rightleftharpoons \text{FeF}_4^- \Delta H_{298}^0 = -104.9$  kcal/mol. The heats of formation, the thermodn. functions and the heats of heterolytic dissociation of the mols.  $M\text{FeF}_3$  and  $M\text{FeF}_4$  were estd.

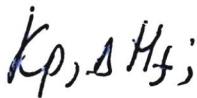
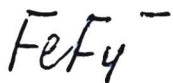
(+3) ~~(+4)~~

$\text{FeF}_4^- (\delta fH)$

C. A. 1982, 96, n18

$M\text{FeF}_3$ ,  $M\text{FeF}_4 (\delta fH)$   
all open

1981



9 Б733. Масс-спектрометрическое определение энталпий диссоциации газообразных комплексных фторидов на нейтральные и заряженные частицы. V. Температуры образования  $\text{FeF}_3^-$  и  $\text{FeF}_4^-$ . Sogokin I. D., Sidov L. N., ~~Никитин М. Г.~~, Skokan E. V. Mass-spectrometric determination of the enthalpies of dissociation of gaseous complex fluorides into neutral and charged particles. V. Heats of formation of  $\text{FeF}_3^-$  and  $\text{FeF}_4^-$ . «Int. J. Mass Spectrom. and Ion Phys.», 1981, 41, № 1—2, 45—54 (англ.)

Масс спектрометрическим методом изучены ионно-молек. равновесия в эффузионной ячейке Кнудсена в парах над чистым  $\text{FeF}_3$  и над системой  $\text{NaF}$ — $\text{FeF}_2$  (10 мол.%  $\text{NaF}$ ) с добавлением <0,5%  $\text{AlF}_3$ . Получе-

X, 1982, 19, N 9.

ны след. величины:  $\text{FeF}_2 + \text{F}^- \rightleftharpoons \text{FeF}_3^-$   $\Delta H_{298}^\circ =$   
 $= -105,4$  ккал/моль;  $\text{FeF}_3 + \text{F}^- \rightleftharpoons \text{FeF}_4^-$   $\Delta H_{298}^0 =$   
 $= -104,9$  ккал/моль;  $\Delta H_{f,298}^\circ (\text{FeF}_3^-) = -272,1 \pm$   
 $\pm 3,3$  ккал/моль;  $\Delta H_{f,0}^0 (\text{Fe}_2\text{F}_5^-) = -422,9 \pm 4,0$  ккал/  
/моль;  $\Delta H_{f,298}^0 (\text{FeF}_4^-) = -337,5 \pm 3,4$  ккал/моль;  
 $\Delta H_{f,0}^0 (\text{Fe}_2\text{F}_7^-) = -543,9 \pm 4,4$  ккал/моль; EA ( $\text{FeF}_3^-$ ) =  
 $= 4,3 \pm 0,2$  эВ и EA ( $\text{FeF}_4^-$ ) =  $5,45 \pm 0,20$  эВ.

И. В. Сидорова

1983

$\text{FeF}_3 \cdot 3\text{H}_2\text{O}$

$\text{Fe}_2\text{F}_5 \cdot 2\text{H}_2\text{O}$ )

5 Б2279. Новые структурные и магнитные аспекты химии твердых фторидов. New structural and magnetic aspects in fluoride solid state chemistry. Ferey G., Leblanc M. «J. Fluor. Chem.», 1983, 23, № 5, 463 (англ.)

Отмечено, что гидротермальный синтез открывает новые возможности для получения метастабильных или низкот-рных форм фторидов. В частности, состав и структура пр-ных  $\text{FeF}_3$  сильно зависят от условий синтеза. Если синтез проводится в воде, что по мере повышения т-ры в интервале 250—460° С последовательно образуются  $\text{FeF}_3 \cdot 3\text{H}_2\text{O}$ ,  $(\text{H}_2\text{O})_{0,33} \cdot \text{FeF}_3$  и  $\text{Fe}_2\text{F}_5 \cdot 2\text{H}_2\text{O}$ . Дегидратация  $(\text{H}_2\text{O})_{0,33} \cdot \text{FeF}_3$  при 120° С приводит к образованию  $\text{FeF}_3$  со структурой гексагон. бронзы. В среде HF при т-рах вплоть до 400° С наблюдается формирование ромбоэдрич.  $\text{FeF}_3$ . В области  $t >$

X. 1984, 19, N5

>400° С восстановление с помощью H<sub>2</sub> вызывает образование нового соединения Fe<sup>II</sup>Fe<sub>2</sub><sup>III</sup>F<sub>8</sub>·2H<sub>2</sub>O. В среде NH<sub>4</sub>HF<sub>2</sub> при 450° С формируется NH<sub>4</sub>Fe<sup>II</sup>Fe<sup>III</sup>F<sub>6</sub>. Для большинства указанных соединений выполнены рентгеноструктурные исследования и найдено, что их общей особенностью является наличие слоев типа гексагон.вольфрамовых бронз. В магнитном отношении эти соединения проявляют св-ва, аналогичные аморф. антиферромагнетикам. Методом мессбауэровской спектроскопии исследованы структурные перестройки в полученных соединениях в процессе их перекристаллизации.

В. М. Новоторцев

FeF<sub>3</sub>(K)

1983

Мурзакеева А. ?.

ЛНН

- Автограферасъ юн.

канд. хим. наук

СССР, ИОНХ, 1983

$\text{FeF}_3^-$

$\text{FeF}_4^-$

Он. 18234 1983

5 Б3041. Ионно-молекулярные равновесия и определение низких давлений атомарного фтора. Никишин М. И., Иголкина Н. А., Борщевский А. Я., Сидоров Л. Н. «Докл. АН СССР», 1983, 272, № 5, 1165—1168

На примере трифторидов молибдена и ванадия, добавки к-рых в исследуемую систему позволяют контролировать давл. атомарного фтора от  $10^{-5}$  до  $10^{-20}$  атм, рассмотрен метод определения парц. давл. атомарного фтора в равновесной смеси, основанный на введении присадок фторидов металлов переменной валентности и измерении отношения давл. отриц. ионов  $\text{MF}_n^-$  и  $\text{MF}_{n+1}^-$ . Измерены константы равновесия ряда ионно-ионных р-ций и получены значения разности энталпий образования отриц. ионов  $\Delta\Delta H^\circ$  ( $f, 298$  кДж/моль), равные соотв. для  $\text{FeF}_3^-$ ,  $\text{FeF}_4^-$  333,5,  $\text{UF}_5^-$ ,  $\text{UF}_6^-$  342,3,  $\text{VF}_4^-$ ,  $\text{VF}_5^-$  256,5,  $\text{CrF}_4^-$ ,  $\text{CrF}_5^-$  285,8,  $\text{CrF}_3^-$ ,  $\text{CrE}_4^-$  344,3.

$\text{VfH}$

(5)

X. 1984, 19, N5

$\text{FeF}_3$  (2)

1984

$\text{FeF}_3^-$

Чиркина Н. А.,

Оптический анализ  
парах ферритов металлов  
 $\text{Kp}, \text{DfH}$  первого переходного ряда.

Автореферат диссертации  
на соискание ученой степени кандидата  
наук К.Х.Н., Москва, МГУ, 1984.

Fef<sub>3</sub><sup>-</sup>(2) Горицевское А. Я., 1985

Автогеодезам диссертации  
на соискание ученой степени  
к.х.н., эллоектно, 1985.

Кр, А.Н.<sup>0</sup>; Помо-шоколадные рабко-  
бесен с учетом их отрезов.  
Чомоб биссеппээр орторибэл эл-  
липсидеңде кри напылсе 2а30  
с эрдүүзүйн мүсөн чеңүү.

$\text{FeF}_3(\text{P})$  (Om. 22884) 1985

$\text{FeF}_3(\text{P})$  Борищевский А. Я., Суго-  
ров В. Н., Боднарчук О. В.,

Докл. АН СССР, 1985, 285,  
Кр, № 4, № 2, 377-381.

$F_{\text{eff}}^{\text{--}}_3(2)$  [om. 22804] 1985

$F_{\text{eff}}^{\text{--}}_3(2)$  Борищевский А. Я., Сидоров  
А. Н. и др.,

Доку. АН СССР, 1985, 285,  
№ 2, 377-381.

$K_P, A_{\text{FH}}$

FeF<sub>3</sub>,  
ромбоэдры  
(C.T. Rel<sub>3</sub>)

[DM. №2155]

1985

ellogus-illilankovic A.,

Ravez J., et al,

Mater. Res. Bull., 1985,

20, N 1, 9-17.

(FeO)<sub>n</sub>O(H)

$\Delta S = ?$   
 $3.78$

$$T_{tr} = 640 \pm 10^\circ K$$

$$\Delta H_{tr} = 580 J \cdot mol^{-1}$$

Micro-DTA at 1300K

$T_c \pm 10K$

$\Delta H$

$\Delta S$

$TiF_3$

340

$435 \pm 10 \text{ J mol}^{-1}$

1,29

$VF_3$

770

1000

1,28

$CrF_3$  1240

$FeF_3$   $640 \pm 10K$

$580 \text{ J mol}^{-1}$   
(T-na ungu.)

1,28?

$GdF_3$  1130

0,91!

$\text{FeF}_3$

1985

Ravez J., Mogus-Milar-  
ković A.

$T_{tz}$ ,  
 $\Delta H_{tz}$ ;

Jap. J. Appl. Phys., 1985,  
Pt 1, 24, Suppl. 2, 687  
- 689.

(c.c.   $\text{AlF}_3$ ; ?)

$\text{FeF}_3$ ,

Тригон.

(СТ  $\text{ReO}_3$ )

Структура

Leblanc

1985

) 21 Б2021. Уточнение структуры монокристалла ромбодрического  $\text{FeF}_3$ . Single crystal refinement of the structure of rhombohedral  $\text{FeF}_3$ . Leblanc M., Pannetier J., Ferey G., DePape R. «Rev. chim. minér.», 1985, 22, № 1, 107—114 (англ.; рез. фр.)

Проведен РСТА ( $\lambda$  Mo, 1923 отражения,  $R = 0,015$ )  $\text{FeF}_3$ . Кристаллы треугольные,  $a = 5,362 \text{ \AA}$ ,  $\alpha = 57,94^\circ$ , ф. гр.  $R\bar{3}c$ . Соединение  $\text{FeF}_3$  принадлежит к СТ  $\text{ReO}_3$  с ромбодрич. искажением. Средн. расстояние Fe—Fe в  $\text{FeF}_3$  1,922  $\text{\AA}$  одно из наименьших среди большой группы фторидов Fe и очень близко к сумме ионных радиусов  $\text{Fe}^{3+}$  и  $\text{F}^-$  (0,645 и 1,285  $\text{\AA}$  соотв.). С. С. Мешалкин

Х. 1985, 19, № 21

Fef<sub>3</sub>(P) [Om. 22303] 1986

Аристова Н.И., Бергман Г.А.,  
Веерч И.В. и гр.,

перевод.  
СБ-68

ВНИИТИ Док. N 557-586,  
Москва, 1986.

Предназначен для изучения  
свойств  
железа и его соединений.

FeF<sub>3</sub>

de Pape

1986

6 Б2042. Новая форма FeF<sub>3</sub> со структурой пирохлора: мягкий химический синтез, кристаллическая структура, тепловые превращения и структурные соотношения с другими модификациями FeF<sub>3</sub>. A new form of FeF<sub>3</sub> with the pyrochlore structure: soft chemistry synthesis, crystal structure, thermal transitions and structural correlations with the other forms of FeF<sub>3</sub>. de Pape R., Ferey G. «Mater. Res. Bull.», 1986, 21, № 8, 971—978 (англ.)

$T_{tr} = 365K$   
 (Neel)  
 (приведены  
 мат-данные)

X. 1987, 19, N6.

(если в ОХИ, перевод!)

профильный анализ,  $R = 0,089$ ) и магн. исследование. Для IV установлен СТ пирохлора. Параметр кубич. решетки IV:  $a = 10,325 \text{ \AA}$ , ф. гр.  $Fd\bar{3}m$ . IV, также как и I, содержит незначит. примесь  $\text{NH}_3$  и истинный состав IV:  $(\text{NH}_3)_z \text{FeF}_3$ ,  $0,025 < z < 0,10$ ). При нагревании IV от 250 до  $350^\circ\text{C}$  происходит фазовое превращение по схеме: IV  $\rightarrow$  I  $\rightarrow$  III +  $z\text{NH}_3$ . В атмосфере  $\text{NH}_3$  (давл. 1 атм., т-ра  $20^\circ\text{C}$ ) IV адсорбирует  $\text{NH}_3$  с образованием  $(\text{NH}_3)_{0,4} \text{FeF}_3$ . С водой IV легко образует гидрат  $\beta\text{-FeF}_3 \cdot 3 \text{H}_2\text{O}$ . В основе структур I—IV лежат каркасы из соединенных вершинами октаэдров  $\text{FeF}_6$ . В I и IV в каркасах имеются большие пустоты, в к-рых размещаются молекулы  $\text{NH}_3$ . При низких т-рах IV является антиферромагнетиком. При т-ре  $20\text{ K}$  IV претерпевает магн. упорядочение. Для модификаций I и II эта т-ра значительно выше: 100 K и 365 K, соотв., что объясняется различной конфигурацией спинов в I, II и IV.

С. В. Соболева

$\text{FeF}_3$

Ferey G., De Pape

1986

12 Б2016. Упорядоченная магнитная фрустрация.  
VIII. Определение кристаллической и магнитной структуры пирохлорной формы  $\text{FeF}_3$  при температурах между 2,5 и 25 К методом порошковой нейтронографии. Сравнение с другими формами  $\text{FeF}_3$ . Ordered magnetic frustration: VIII<sup>(1)</sup>. Crystal and magnetic structures of the pyrochlore form of  $\text{FeF}_3$  between 2.5 and 25 K from powder neutron diffraction. Comparison with the other varieties of  $\text{FeF}_3$ . Ferey G., De Pape R., Leblanc M., Pannetier J. «Rev. chim. miner.», 1986, 23, № 4—5, 474—484 (англ. рез., фр.)

Методами порошковой нейтронографии и магнитометрии установлено, что новая кубич. форма  $\text{FeF}_3$  с СТ пирохлора является антиферромагнетиком с т-рой Нееля 20 К. Крист. структура уточнена при 25 К с использованием профильного анализа. Структурный параметр иона  $\text{F}^-$  имеет идеальное значение 0,3125. Магн. структура исследована при 7 т-рах от 20 до 2,5 К. Она построена из 4 ферромагн. подрешеток, повернутых на угол 109° друг по отношению к другу.

X. 1987, 19, N 12.

В тетраэдрич. подрешетке ионов  $\text{Fe}^{3+}$ , имеющих при 2,5 К момент 3,3  $\mu\text{B}$ , направления этих моментов совпадают с прямыми, соединяющими центр тетраэдра с вершиной. Проведено сравнение магн. св-в и структур 3 форм  $\text{FeF}_3$ : стабильной ромбоздрич., гексагон. с СТ вольфрамовой бронзы и пирохлорной. При близких значениях длин связей  $\text{Fe}-\text{F}$  и  $\text{Fe}-\text{Fe}$  углы  $\text{FeFFe}$  изменяются в этом ряду от 152,15 до 141,65°, что коррелирует с уменьшением т-ры Нееля от 365 К до 20 К. Этот факт объясняется изменением числа прямых обменных контактов в зависимости от топологии магн. подрешетки.

С. Ш. Шильштейн

оро  
7 А  
—Р

$\text{FeF}_3(1)$

1986

Кузнецов С.В., Коробов Н.В.,  
Савинова А.Н., Серебров А.Н.

$K_p, S_f H,$

Изуч. физ. хим., 1986,  
60, №5, 1285-1287.

$\text{FeF}_3(2)$

1986

$\text{FeF}_3^-(2)$

Sidorov L.N.,  
Borshchhevsky A.Ya.,  
Soltalina O.V., et al.,

Ko;

Int. J. Mass Spectrom.  
and Ion Process., 1986,  
73, N 1-2, 1-11.

$F_2 F_3(2)$  Сидоров Л.Н., Борисев-  
ский Л.Я., 1986

Исследование структуры и  
энергетики стекла.

$K_p, \Delta n H$

Межвузовский сборник науч-  
ных трудов Ивановского химико-  
технологического института,

Иваново, 1986,

98-113. (есть в картотеке)

1986

$F_2 F_3 (2)$  Сидоров П. Н., Георгиев-  
ский П. Я.,

Исследование структур и  
энергетики моделей.

$K_p, \Delta_r H;$

Денизбужовский сборник науч-  
ных трудов Ивановского хи-  
мико-технологического ин-  
ститута, 218аноно, 1986,  
98-113. (есть в картотеке)

Fef<sub>3</sub>(II) (DM-24399) 1986

Sidorov L. N., Zhezravleva  
L. V., Sorokin I. D.,

R<sub>p</sub>, Δ<sub>fH</sub>

USSR Spectrom. Rev.,  
1986, 5, 73-97.

$\text{FeF}_3$

(On. 28006)

1987

Calage Y., Zenirli M.,  
et al.,

creeps,

TN

J. solid state chem.,  
1987, 69, N2, 197-201.

FeF<sub>3</sub>

Grenèche

1987

17 Б3208. Кристаллизация аморфных фторидов FeF<sub>3</sub>. Crystallization of amorphous FeF<sub>3</sub> fluorides. Grenèche J. M., Varret F., Leblanc M., Ferey G. «J. Fluor. Chem.», 1987, 35, № 1, 166 (англ.)

Высокотемпературным напылением на подложку Au получен аморф. FeF<sub>3</sub> (I) с небольшим кол-вом Fe<sup>2+</sup>, а при помощи хим. р-ции в мягких условиях синтезирован аморф. FeF<sub>3</sub>·xHF (II) ( $0,4 \leq x \leq 1,0$ ) без следов Fe<sup>2+</sup>. Исследование методами ЯГР и РФА фазового состава I и II, подвергнутых кристаллизации в вакууме, показало, что II, независимо от условий нагрева, имеет ромбоэдрич. структуру без следов Fe<sup>2+</sup>. I, нагретый в изотермич. условиях при высоком вакууме, также имеет ромбоэдрич. структуру. Однако нагрев I в условиях, вызывающих гидролиз, приводит к образованию фазы со структурой гексагон. вольфрамовой бронзы с увеличенным содержанием Fe<sup>2+</sup>.

В. А. Ступников

X. 1987, 19, N 17

*FeF<sub>3</sub>*

Grahnec

1987

16 Б2040. Нестехиометрия в системе FeF<sub>3</sub>—ZrF<sub>4</sub>.  
 Non-stoechiométrie dans le système FeF<sub>3</sub>—ZrF<sub>4</sub>. Гран-  
 пеc J., Yacoubi A., Fournes L., Tressaud A., Hageu-  
 muller P. «J. Solid State Chem.», 1987, 70, № 2, 323—  
 335 (фр.; рез. англ.)

Проведено рентгенографич. (метод порошка, микро-  
 ДТА,магн. исследование и анализ спектров Мессбауэ-  
 ра) фаз системы Fe<sub>1-x</sub>Zr<sub>x</sub>F<sub>3+x</sub>, синтезированных взаи-  
 модействием простых фторидов при т-ре 850°С в атм.  
 Аг. В зависимости от состава фазы появляются в 2 СТ.  
 При 0≤x<0,10 (I) фазы характеризуются СТ VF<sub>3</sub>,  
 присущем FeF<sub>3</sub>. Параметры ромбоэдрич. решетки: x =  
 = 0 a 5,368, α 57,98°; 0,09 5,411 Å, 59,37°. При 0,10≤  
 ≤x≤0,23 (II) фазы принадлежат к СТ ReO<sub>3</sub>; парамет-  
 ры кубич. решетки (z 1, ф. гр. Pm3m): при x=0,10 a  
 3,819, 0,23, 3,846. При x>0,23 реализуется смесь фаз  
 Fe<sub>0,77</sub>Zr<sub>0,23</sub>F<sub>3,23</sub> и ZrF<sub>4</sub>. В условиях высоких т-р фазы I

*Pt2*

X. 1988, 19, N 16

претерпевают характерный для  $\text{FeF}_3$  фазовый переход, связанный с магн. упорядочением, т-ра к-рого резко падает с ростом  $x$ : при  $x=0$  она равна 640 К, 0,09 385 К. Все фазы являются антиферромагн. С т. зр. полученных структурных данных дана интерпретация магн. св-в и полученных при т-рах 300 и 373 К спектров Мессбауэра фаз с  $x=0.05$  и 0.23.. С. В. Соболева

$FeF_3$

1988

Богданченко О.В.,  
Борисевский А.Я. 21 гр.

$\rho_0$ ,  
 $\Delta H$ ;

Строение и свойства  
молекул. Иваново, 1988. С.  
135-146.

(c.u.r.  $ScF_3$ ; I)

$\text{FeF}_3$

[Om. 29244]

1988

Borshchевский А. Я.,  
Больтина О. В., et al.,  
Ae,  
memoxIII. g. Chem. Thermodyn.,  
1988, 20, N5, 523-537.

отт. 29244 ~ 1988  
FeF<sub>3</sub>(2) Boryshchevskii A. Ya.,  
Boltalina O. V., Sorokin I. D.,  
Sidorov L. N.,

Thermochemical Quantities  
For Gas Phase Iron, Uranium,  
and Molybdenum Fluorides  
K<sub>p</sub>, ΔfH and Their Negative Ions.  
(1987г., 6 нерама), (ommuck)

Махоогумас с ~~Коробово~~  
коробке ~~и Туровка~~).

256.29244

FeF<sub>3</sub>(2) Borshchhevskii A. Ya., ~1988  
Boltalina O. V., Sorokin I. D.,  
Sidorov L. N.,

Thermochemical Quantities  
For gas Phase Iron, Uranium,  
K<sub>p</sub>, Δ<sub>f</sub>H and allolybdenum Fluorides  
and Their Negative Ions.  
(1987., 6 neramu), (ommuck)

находится в Коровине  
коробке г. Турица).

$\text{FeF}_3$

[DM. 36718]

1992

Болтамина О.В., Борисовский А.Г.  
и др.,

(P, K<sub>P</sub>, ΔH) Ал. фу. химии, 1992, бб,  
N9, 2289 - 2309.

Термодинамическое значение 3d-энергии  
металлов и их отнесение к определенным  
формам в разной форме.

*Fef<sub>3</sub>*

*1994*

З Б3051. Масс-спектрометрическое исследование разложения трифторида железа /Чилингаров Н. С., Сокан Е. В., Рау Д. В., Сидоров Л. Н. //Ж. физ. химии.—1994.—68, № 7.—С. 1183—1189.—Рус.

Проведено масс-спектрометрич. исследование разложения трифторида железа (I) в интервале т-р 980—1100 К. Установлено, что в платиновой ячейке испарение I происходит без разложения. Показано, что наличие в препарате восстановителя приводит к разложению I с образованием  $FeF_2$  (тв.) и атомов фтора; разложение I происходит и без непосредственного контакта препарата  $FeF_3$  (тв.) с восстановителем при наличии механизма переноса атомов фтора из области р-ции разложения к восстановителю. Доказано, что интенсивность процесса разложения I подчиняется общим закономерностям, характерным для процессов термич. разл. тв. тел, и определяется св-вами восстановителя, а также скоростью выведения атомов фтора из области р-ции разложения.

*X: 1995, № 3*